

QUANTEP

QUANtum Technologies Experimental Platform

.Call CSN5 “tematica” sulle Tecnologie Quantistiche - R.N. Andrea Salamon

.LNL, MI, Camerino (PG), PI, PV (e UNIMORE), RM2, SA, TO

.Collaborazioni con: LNGS (LUNA-MV), LABEC (DEFEL), UNIPI (Prof Saponara), UNITO, IHP, TYNDALL, Institut Ruđer Bošković (RBI), Micro Photon Devices (MPD), University of Leipzig, Chalmers University of Technology, Physikalisch-Technische Bundesanstalt (PTB).

.15-17 FTE/anno, fino a ~ 1 MEuro di budget

.2021-2023 → **chiesto prolungamento al 2024 per completare l'attività**

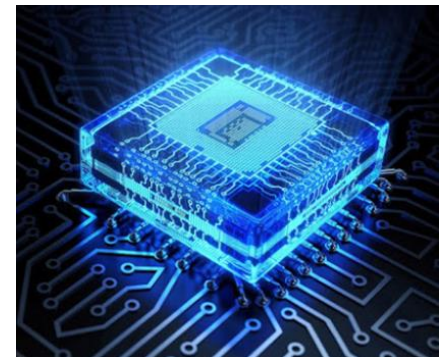
.Realizzazione di una **piattaforma comune basata su Silicon Photonics** per lo sviluppo e caratterizzazione di:

-circuiti per il Quantum Computing (MI, PG, PI, PV, RM2)

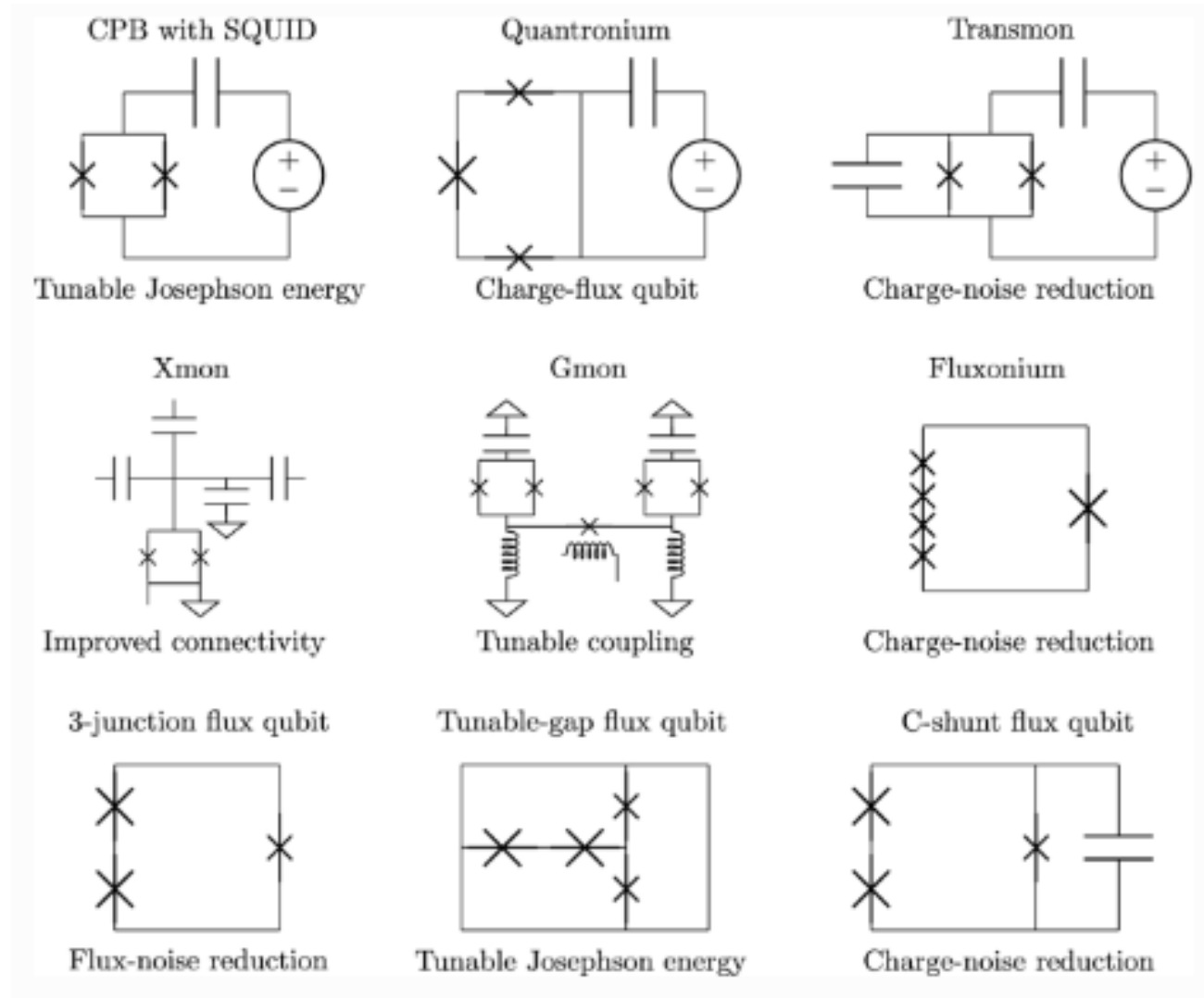
-sorgenti di singolo fotone (LNL, TO)

-rivelatori di singolo fotone (RM2, SA, TO)

-circuiti per il controllo della polarizzazione (PV, UNIMORE, RM2)



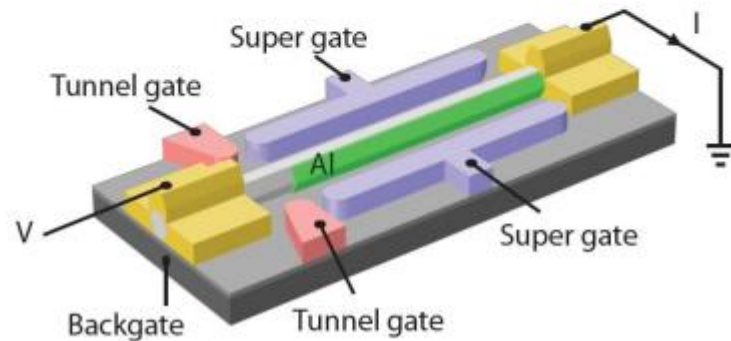
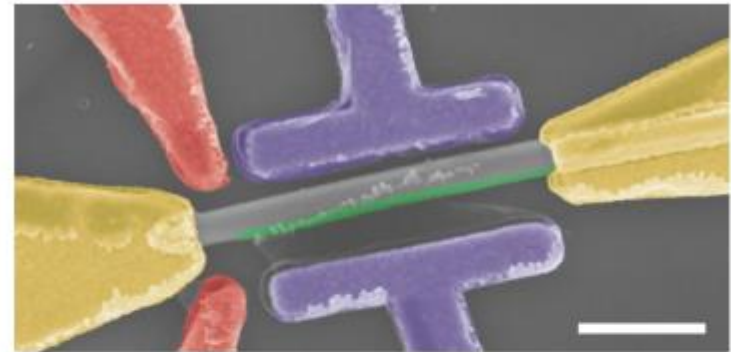
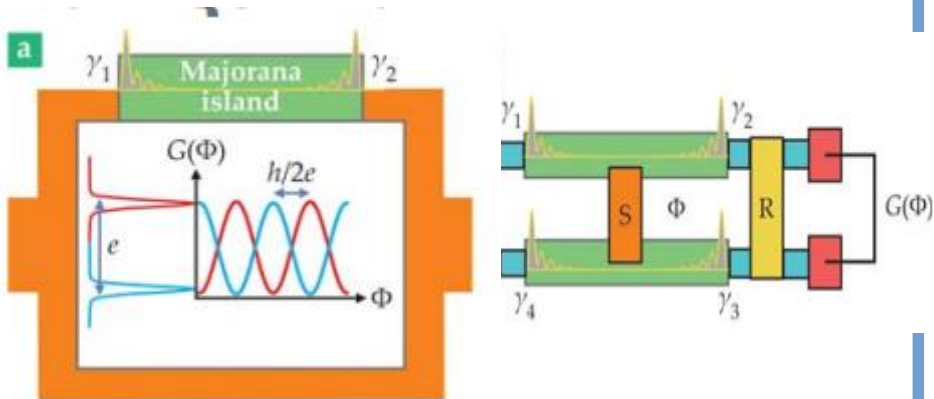
QUANTUM COMPUTING



QUANTUM COMPUTING

$$a|00\rangle + b|01\rangle + c|10\rangle + d|11\rangle \rightarrow$$

$$\rightarrow a|00\rangle + b|01\rangle + c|11\rangle + d|10\rangle$$



QUANTEP /PG

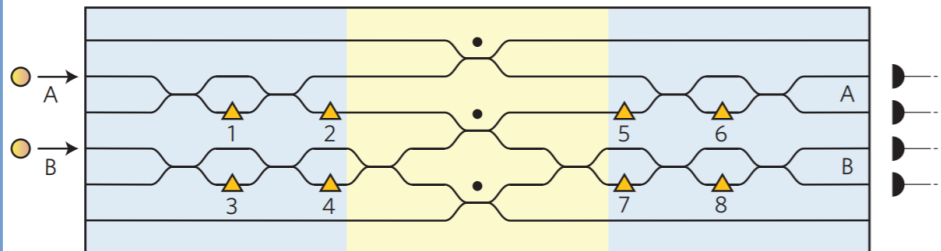
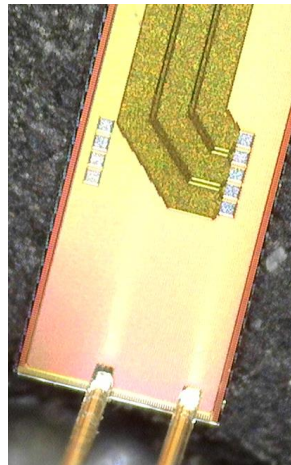
Simulazione, disegno e test (Tor Vergata) di **circuiti per il Quantum Computing** con ottica lineare a 1550 nm

$$a|00\rangle + b|01\rangle + c|10\rangle + d|11\rangle \rightarrow a|00\rangle + b|01\rangle + c|11\rangle + d|10\rangle$$

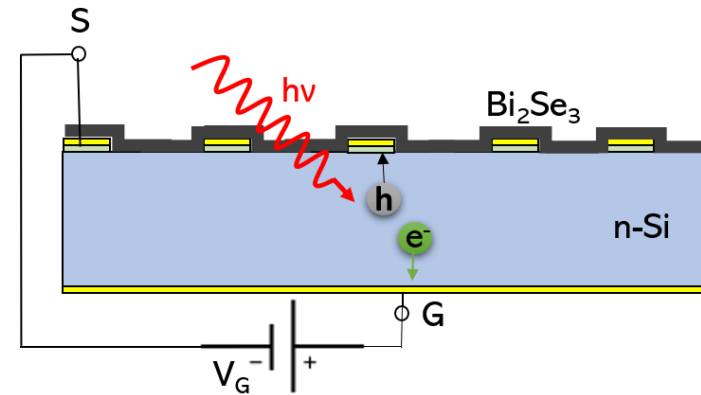
$$\text{CNOT} = \begin{pmatrix} \boxed{1} & \boxed{0} & 0 & 0 \\ \boxed{0} & \boxed{1} & 0 & 0 \\ 0 & 0 & \boxed{0} & \boxed{1} \\ 0 & 0 & \boxed{1} & \boxed{0} \end{pmatrix}$$

control bit

target bit



Rivelatori di singolo fotone a 1550 nm con eterogiunzioni di Bi_2Se_3 ed altri materiali 2D su Si



Circuiti per il Quantum Computing (CNOT gate)

1 qubit: $\alpha_0|0\rangle + \alpha_1|1\rangle$, $|\alpha_0|^2 + |\alpha_1|^2 = 1$

Alcuni gate elementari per 1 qubit

$$X = \begin{pmatrix} 0 & 1 \\ 1 & 0 \end{pmatrix} \quad Z = \begin{pmatrix} 1 & 0 \\ 0 & -1 \end{pmatrix} \quad R_\phi = \begin{pmatrix} 1 & 0 \\ 0 & e^{i\phi} \end{pmatrix} \quad H = \frac{1}{\sqrt{2}} \begin{pmatrix} 1 & 1 \\ 1 & -1 \end{pmatrix}$$

2 qubits: $a|00\rangle + b|01\rangle + c|10\rangle + d|11\rangle$ $|a|^2 + |b|^2 + |c|^2 + |d|^2 = 1$

Il gate prototipo per 2 qubit è il Controlled NOT (CNOT) gate

control bit

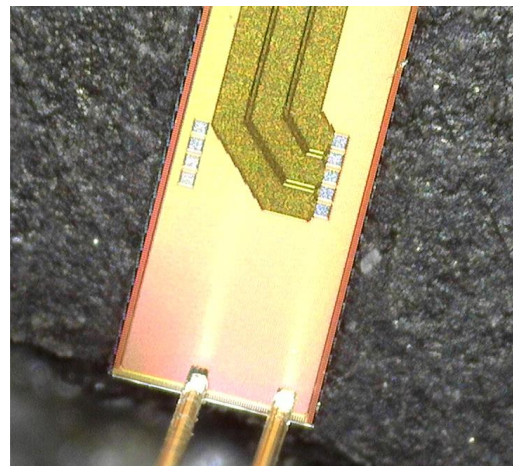
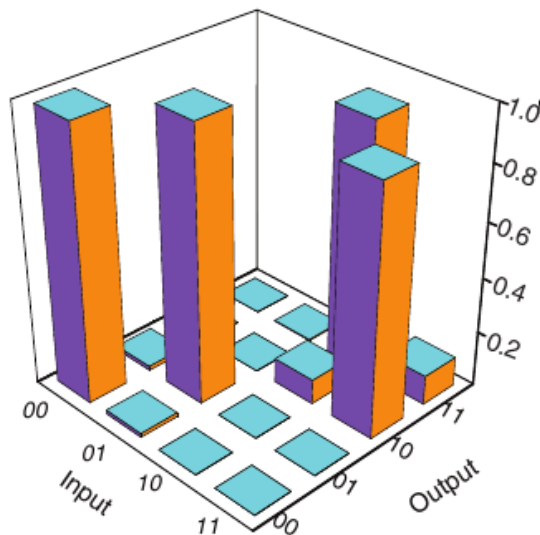
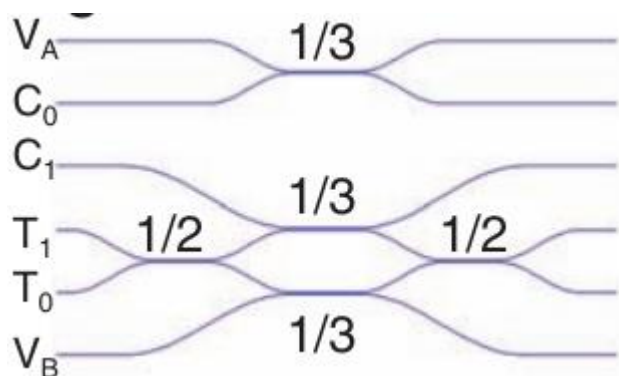
$$\text{CNOT} = \begin{pmatrix} 1 & 0 & 0 & 0 \\ 0 & 1 & 0 & 0 \\ 0 & 0 & 0 & 1 \\ 0 & 0 & 1 & 0 \end{pmatrix}$$

target bit

- il control bit non viene modificato
- il target bit in uscita è lo XOR del control e del target bit in ingresso
- ... ma ovviamente fa molto di più perchè lavora sulla funzione d'onda

$$a|00\rangle + b|01\rangle + c|10\rangle + d|11\rangle \rightarrow a|00\rangle + b|01\rangle + c|11\rangle + d|10\rangle$$

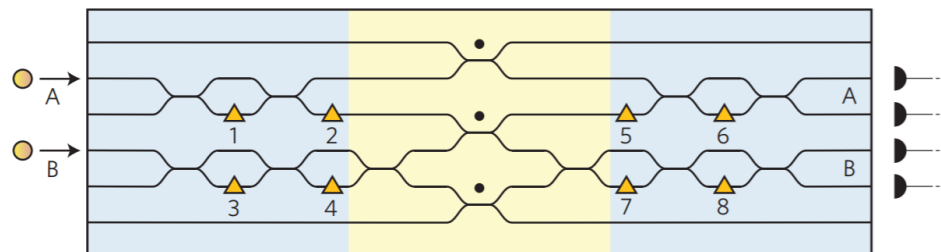
Circuiti per il Quantum Computing (CNOT gate) con ottica lineare a 1550 nm su Silicon Photonics



• Waveguide coupler (con onda evanescente) usati come beam splitter ($\eta=1/2$ e $\eta=1/3$)
 → stabilità rispetto a produzione e lunghezza d'onda

• Coincidence basis ($C_0T_0, C_1T_0, C_0T_1, C_1T_1$)

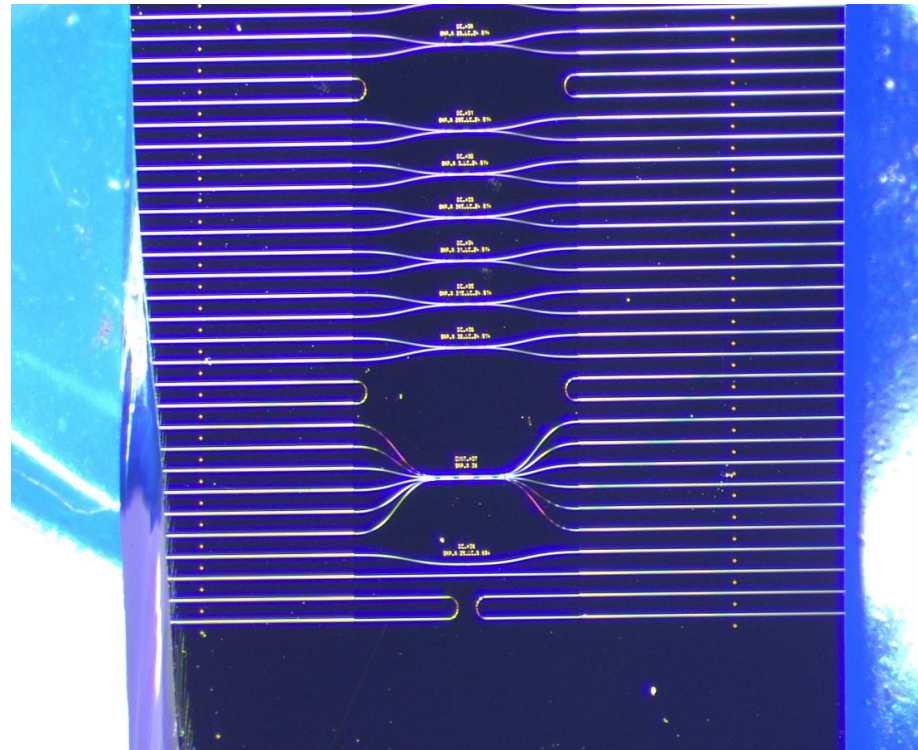
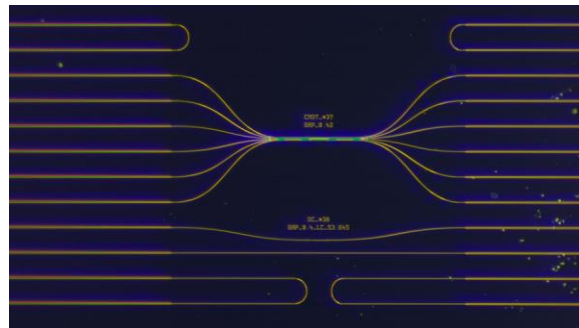
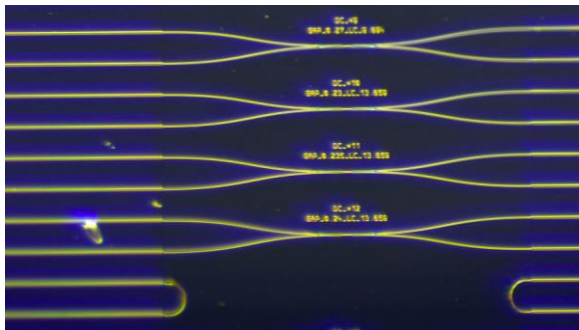
• Postselected probabilistic gate ($P=1/9$)



T. C. Ralph et al, Linear optical controlled-NOT gate in the coincidence basis, DOI: 10.1103/PhysRevA.65.062324

A. Politi et al, Silica-on-Silicon Waveguide Quantum Circuits, DOI: 10.1126/science.1155441

È stata prodotta una prima versione di chip con CNOT e directional coupler

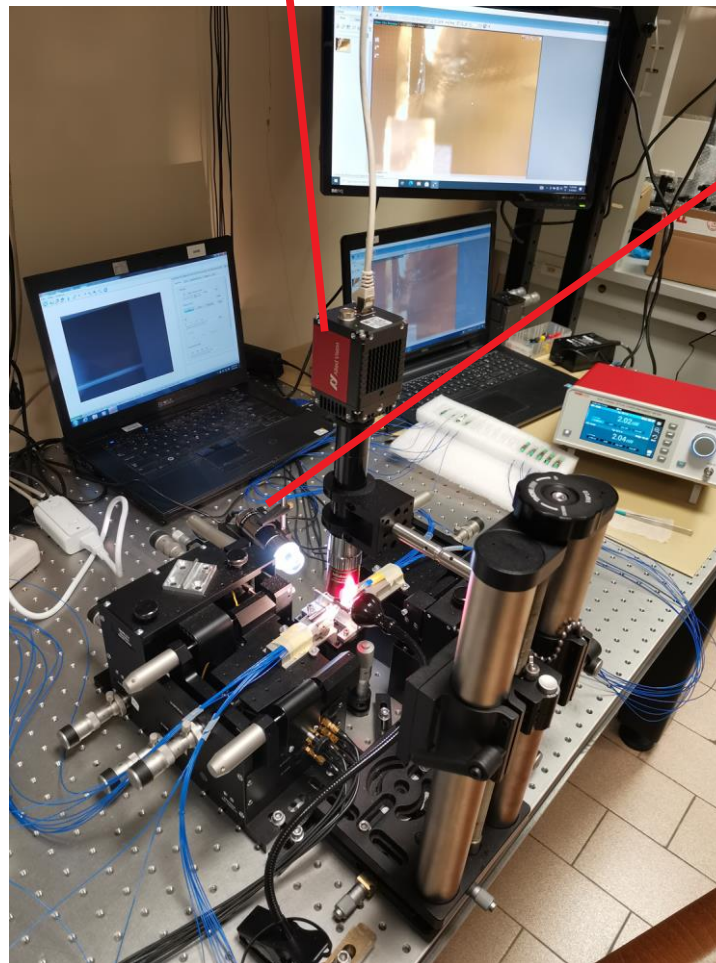
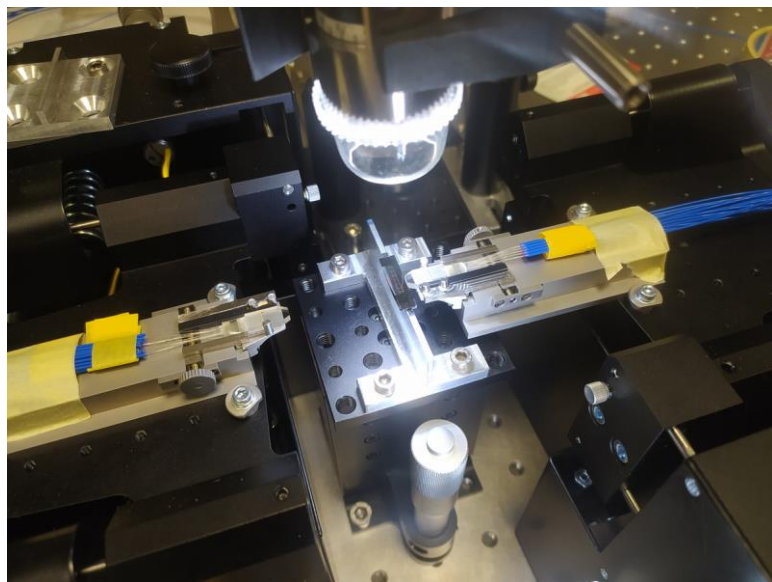


chip caratterizzati in laboratorio a Tor Vergata

IR source



Piezo controllers

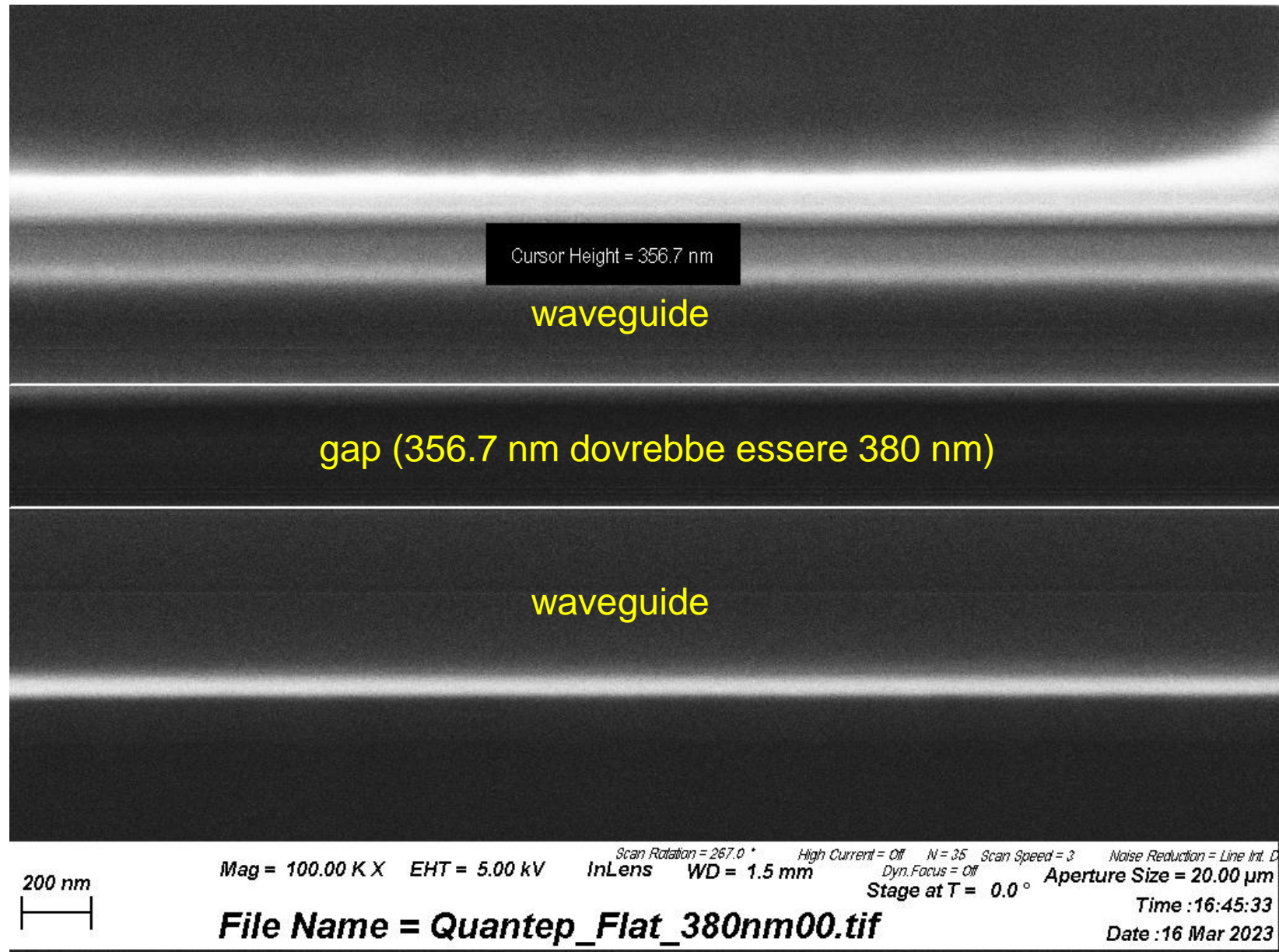


IR camera

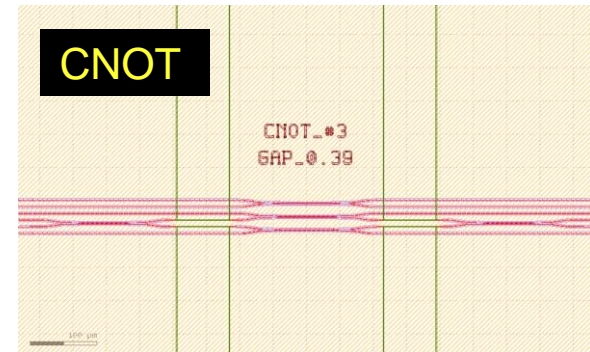
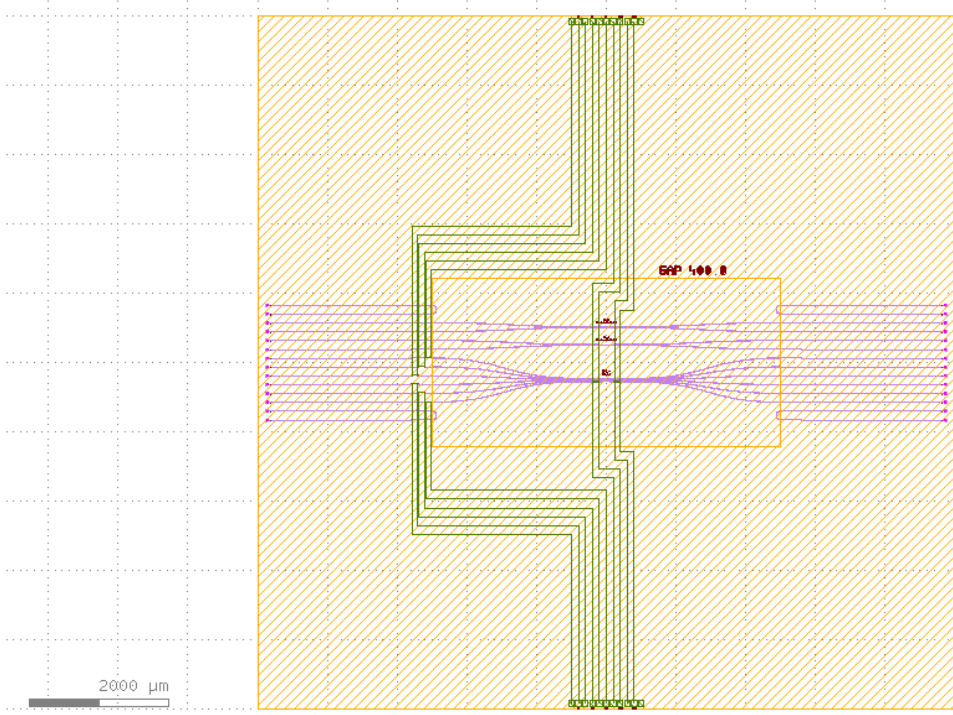
Visible camera







Power meter

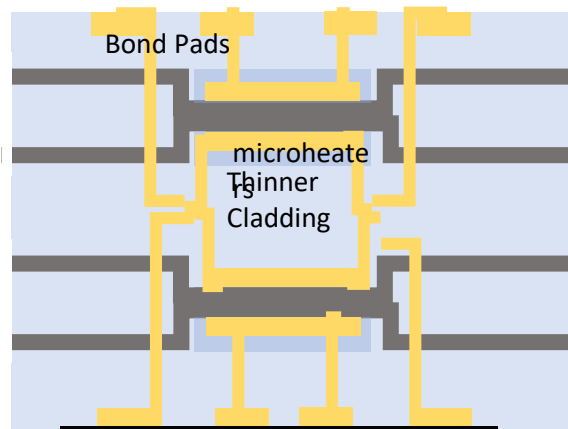
Immagini SEM



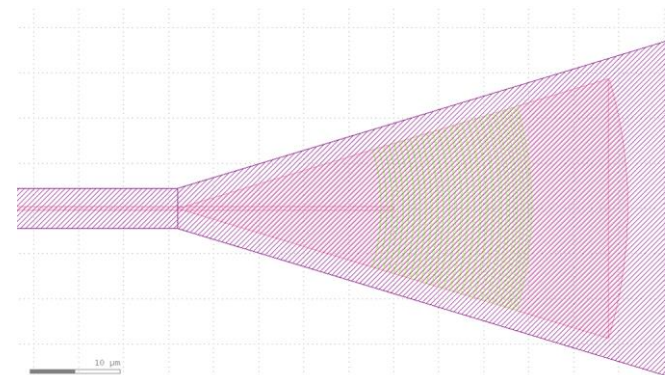
Un secondo chip è in produzione



-  Si waveguide 4/2
-  cladding 4/9
-  chip edge outline 4/13
-  text 4/15
-  etches of grating coupler 10/0
-  metal 41/0



Thermal phase shifter



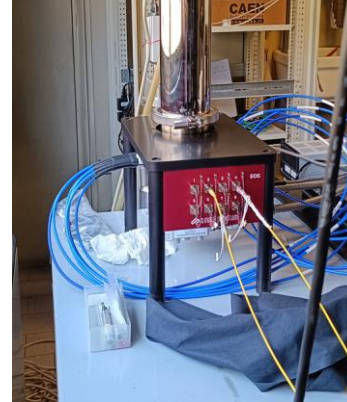
Reticolo di Bragg

Installato il nuovo laboratorio

Tavolo ottico isolato, microscopio VIS+IR, tunable laser,



Rivelatore a nanofili superconduttivi, cryocooler 2.2 K



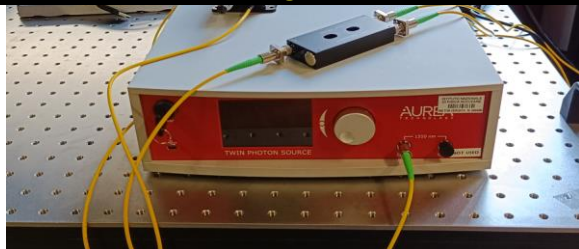
Rack elettronica



Pompe (rotativa e turbomolecolare)



Sorgente di fotoni entangled, filtro, polarizing beam splitter



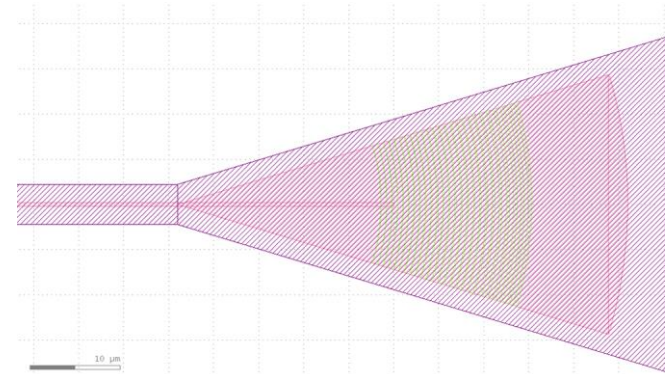
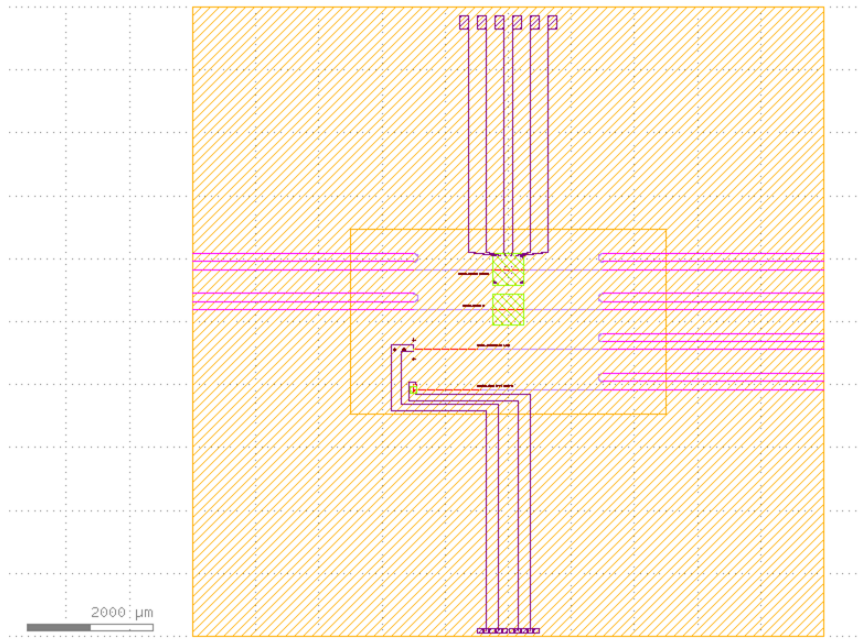
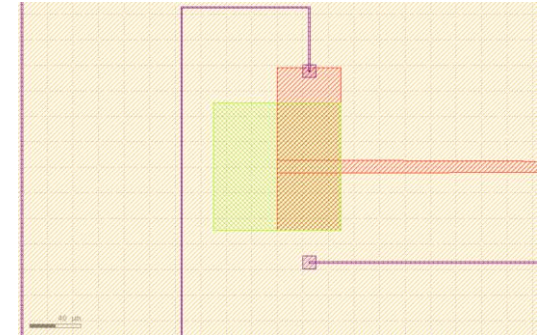
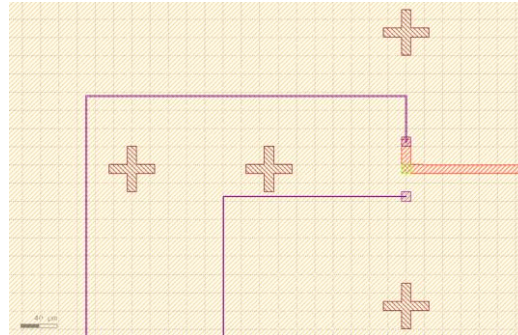
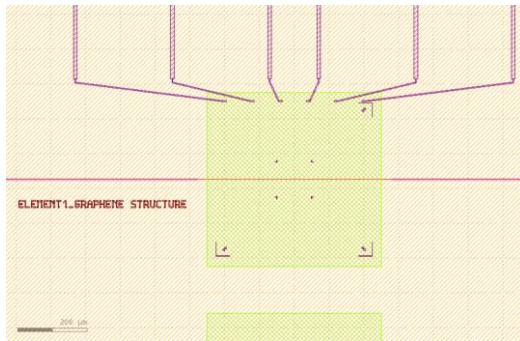
Circuito fotonico in misura



Helium compressor



In produzione un altro chip per sorgenti, rivelatori e polarizzatori



Richieste Finanziarie

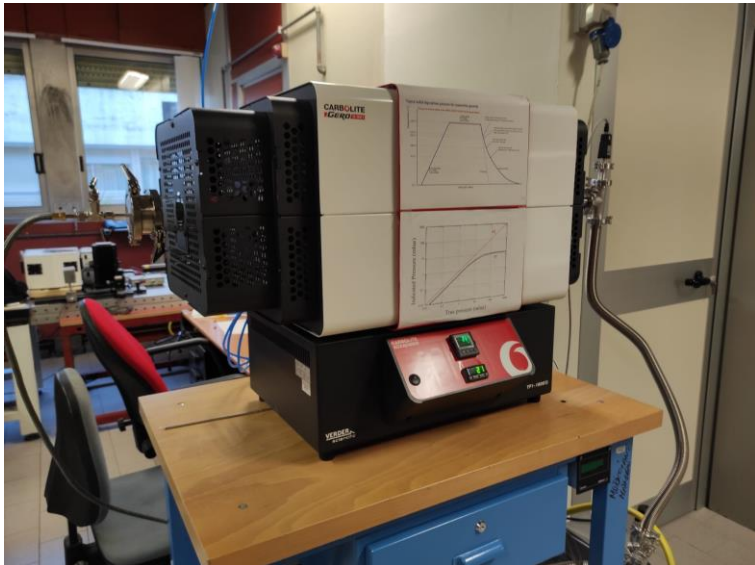
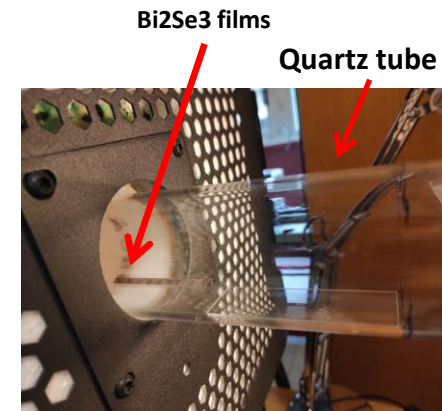
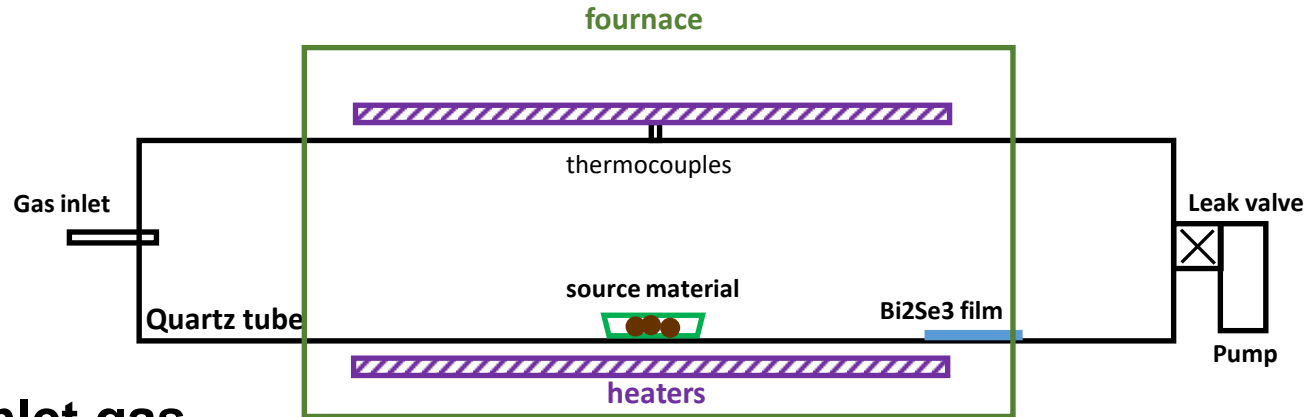
Anagrafica 2.3 FTE

Ricercatori					
	Nome	Età	Contratto	Qualifica	Aff. %
1	Di Giuseppe Giovanni		Associato	Prof. Associato	20
2	Gunnella Roberto		Associato	Prof. Associato	70
3	Natali Riccardo		Associato	Tecnico E.P.	20
4	Piergentili Paolo		Associato	Dottorando	100
5	Vitali David		Associato	Prof. Ordinario	20
Numero Totale Ricercatori				5	FTE: 2.30

2 dottorandi 38 e 37mo ciclo.

Bi₂Se₃ thin film growth by Vapor-Solid Deposition method

- Furnace Carbolite 1600 °C
- Quartz tube
- Leybold pumping system
- Stainless steel pipeline for Ar inlet gas
- Leak valve for gas flow rate regulation

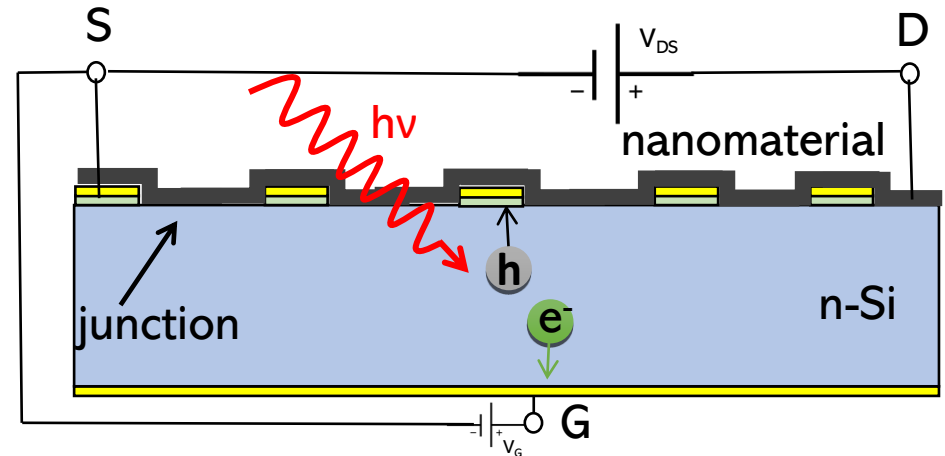
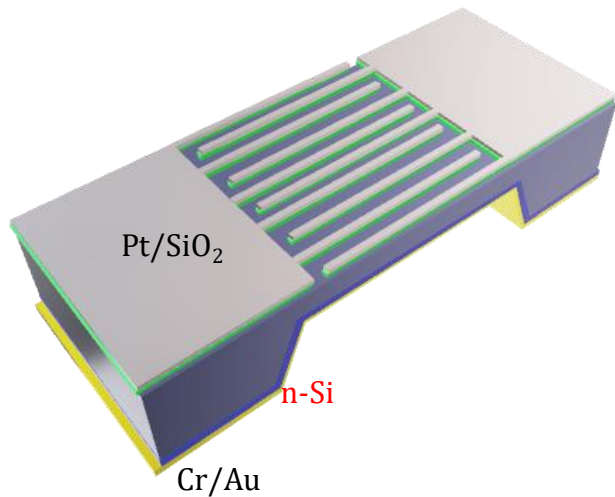


Operating conditions:
Evaporation Temperature 590 °C
Substrate temperature: <100 °C
Pressure: 10⁻² mbar

Optical properties

Optical absorbance measurements in the wavelength range 200 nm-3000 nm show good absorption of Bi₂Se₃ films at $\lambda=1550$ nm. The optical absorbance increases with the film thickness. Optical gap of about 300 meV is measured in agreement with the expected value for Bi₂Se₃

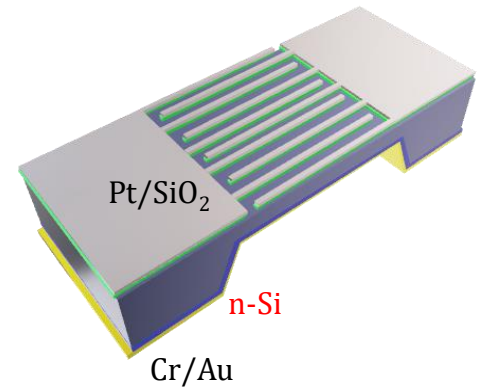
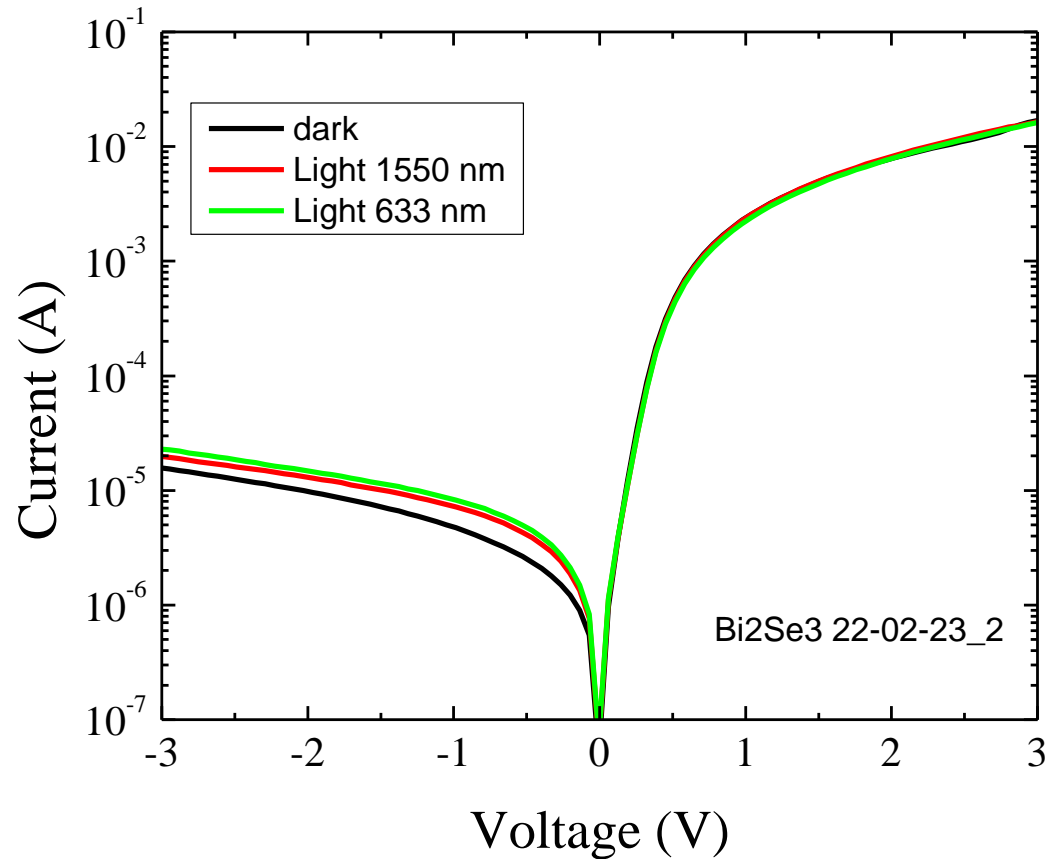
Bi₂Se₃/n-Si junctions



The substrates used for Bi₂Se₃/n-Si photodetectors are n-Si with metallic electrodes on the bottom and interdigitated metallic electrodes on the top. Different n-Si active area (n-doping 10^{16} cm⁻³) are available with area in the range of 0.1×0.1 mm² up to 3×3 mm². The Bi₂Se₃ is deposited on the substrate surface and when in contact with n-Si give rise to the Bi₂Se₃/n-Si heterojunction. Different number of fingers are available to improve the photocharge collection.

Electro-optical characterization

At communication wavelength



Preliminary results on Bi2Se3/n-Si heterojunctions on interdigitated FBK substrates show response at $\lambda=1550$ nm. Increasing the Bi2Se3 thickness a better photoresponse is expected.